



بررسی تجربی و تحلیل تأثیر تردی هیدروژنی و تنش پسماند بر خواص مکانیکی فولاد GTD ۴۵۰

سپیده نصرتی^۱، اسماعیل پورسعیدی^{۱*}، امین داداشی^۲

^۱ دانشکده مهندسی مکانیک، دانشگاه زنجان، زنجان، ایران

^۲ دانشکده مهندسی مکانیک، دانشگاه تربیت مدرس، تهران، ایران

تاریخچه داوری:

دریافت: ۱۳۹۹/۱۰/۲۰

بازنگری: ۱۴۰۰/۰۳/۰۹

پذیرش: ۱۴۰۰/۰۳/۱۰

ارائه آنلاین: ۱۴۰۰/۰۳/۱۲

كلمات کلیدی:

تردی هیدروژنی

تنش پسماند

خواص مکانیکی

تست کشش

فولاد جی-تی-۴۵۰

خلاصه: موضوع مقاله حاضر، مطالعه تجربی اثرات تردی هیدروژنی به همراه تنش پسماند بر روی خواص مکانیکی آلیاژ جی-تی-۴۵۰ است. بدین منظور از محلول ۵٪ مولار سولفوریک اسید برای ایجاد تردی هیدروژنی یک و دو ساعته و از روش دندانه‌گذاری با سطح استوانه‌ای برای ایجاد تنش پسماند استفاده شد. بر اساس یافته‌های آزمایشگاهی، تغییرات انعطاف‌پذیری و درصد کاهش سطح مقطع شکست، نسبت به شرایط مبنا در چهار سطح آزمایش صورت پذیرفته به ترتیب در محدوده ۴۲/۶۹٪ تا ۳۹/۵۸٪ و ۱۱/۷۸٪ تا ۷۴/۶۸٪ به دست آمد. نتایج تحلیل آماری مشارکت تنش پسماند و تردی هیدروژنی در انعطاف‌پذیری را به ترتیب معادل ۱/۱۵٪ و ۶۷/۰۵٪ برآورد کرده است. برای تنش پسماند مربوط به نیروی پنج کیلو نیوتونی، با افزایش مدت زمان شارژ هیدروژنی به دو ساعت، مقدار چقرومگی ۶۰/۵۴٪ کاهش می‌یابد. همچنین مشاهده گردید که حداکثر تغییرات در تنش تسليیم نسبت به شرایط مبنا، ۱/۱۸٪ است که در نمونه به تردی هیدروژنی یک ساعتی و تنش پسماند ناشی از نیروی نه کیلو نیوتونی ایجاد شده است. در حالت مبنا گلوبی شدن با کرنش زیاد و کاهش ۳۶ درصدی سطح مقطع شکست رخ داد؛ اما در شرایط شارژ دو ساعتی، شکست با حداقل گلوبی شدن، کرنش کم و کاهش اندک سطح مقطع، به میزان ۲۱/۷۵٪ صورت گرفت.

۱- مقدمه

به سه گروه عمدۀ تردی هیدروژنی محیطی^۱، تردی هیدروژنی داخلی^۲ و تردی هیدروژنی واکنشی^۳ طبقه‌بندی می‌شود [۱]. در حالت کلی تردی هیدروژنی محیطی زمانی رخ می‌دهد که ماده در معرض محیط گاز هیدروژن با فشار بالا قرار گیرد. در تردی هیدروژنی داخلی لزومی به وجود گاز هیدروژن با فشار بالا نیست بلکه هیدروژن نفوذی حاصل از یک فرآیند الکتروشیمیایی مانند خوردگی یا شارژ کاتدی در یک محیط مرطوب است. برخلاف تردی هیدروژنی محیطی و تردی هیدروژنی داخلی، در تردی هیدروژنی واکنشی به دلیل انجام واکنش شیمیایی با هیدروژن، یک آسیب برگشت‌ناپذیر رخ می‌دهد. این آسیب می‌تواند بدون حضور هرگونه تنش خارجی رخ دهد. جنگ و همکاران [۲] به مطالعه تردی هیدروژنی و شکست بر

خوردگی در توربین‌ها و کمپرسورها معمولاً به علت وجود رطوبت و نمک‌ها ایجاد می‌شود. در محلول‌های خورنده طی واکنش الکتروشیمیایی هیدروژن آزاد شده و با نفوذ هیدروژن به داخل فلز، تردی هیدروژنی ایجاد می‌شود. نتیجه این واقعه از دست دادن انعطاف‌پذیری فلز و افزایش استحکام آن است. شکست مواد فلزی در اثر پدیده تردی هیدروژنی اغلب غیر قابل پیش‌بینی و گاه فاجعه‌بار است، زیرا در این پدیده، برای وقوع شکست، اعمال نیروی خارجی نیاز نیست و وجود تنش‌های پسماند می‌تواند به عنوان منبع اعمال تنش عمل کند. برای این که بتوان اثرات هیدروژن نفوذی را در محیط آزمایشگاهی بررسی کرد، نمونه مورد مطالعه تحت شارژ هیدروژنی قرار می‌گیرد. تردی هیدروژنی از منظر اندرکنش میان فلز و هیدروژن

* نویسنده عهده‌دار مکاتبات: epsaeidi@znu.ac.ir

1 Hydrogen Environmental Embrittlement (HEE)

2 Internal Hydrogen Embrittlement (IHE)

3 Hydrogen Reaction Embrittlement (HRE)



ترک مهم بوده و در فرایند اس-سی-سی یکدیگر را تحت تأثیر قرار می‌دهند. دو علت اصلی از پدیده ترک خوردگی محیطی^۸ شامل: تردی هیدروژنی و ترک خوردگی تنشی توسط سندالز و همکاران [۶] مدل‌سازی شد. علاوه بر این، یک شبیه‌سازی کامپیوتوری از صفحه فلزی صاف با تنش مکانیکی و ترک خوردگی به علت تردی هیدروژنی و خوردگی توسط لی و همکاران [۷] انجام گرفت. در این مقاله رفتار مقاومت مواد، کرنش پلاستیکی و سرعت رشد ترک در اثر تردی هیدروژنی و خوردگی بررسی شده است. ای می و همکاران [۸] یک مدل تحلیلی برای ارزیابی مدت زمان شروع ترک خوردگی خستگی بر روی فولاد ضدزنگ مارتنتزیتی در سیکل خستگی (بین ۱۰۵ تا ۱۰۷ سیکل) ارائه دادند. بر اساس اندازه‌گیری‌های الکتروشیمیایی در آزمایش‌های خستگی خوردگی در محلول آبی سدیم کلرید، مکانیزم شروع خستگی خوردگی شناسایی شد. نتایج تجربی با مدل پیشنهاد شده با توجه به پارامترهای مواد مکانیکی و الکتروشیمیایی مقایسه شده است. کاپل و همکاران [۹] به بررسی قابلیت جذب هیدروژن در شارژ هیدروژنی، اثر زمان شارژ بر روی غلظت هیدروژن در فلز پایه، فلز جوش و ناحیه تحت اثر دما^{۱۰} بود. هیدروژن‌دهی به نمونه‌ها از روش الکتروشیمیایی صورت گرفت. جهت انجام تست سطح نمونه‌ها با دی‌الکتریک پوشانده شد و فقط سطحی با قطر ۵ میلیمتر بدون پوشش باقی ماند که در معرض محلول پی-اچ ان-اس^{۱۱} قرار گرفت. نتایج به دست آمده نشان داد که قابلیت جذب هیدروژن به ترتیب در سه بخش، ناحیه تحت اثر دما، فلز پایه و جوش کاهش یافت. کاپل و همکاران [۱۰] به بررسی توانایی جذب هیدروژن در سه نوع فولاد از دسته ای-پی-آی^{۱۲}: ایکس ۵۲، ایکس ۷۰ و ایکس ۱۰۰ پرداختند. پارامترهای مورد بررسی در این پژوهش را می‌توان زمان شارژ کاتدی هیدروژن و تنش اعمالی بر روی نمونه‌ها عنوان کرد. آن‌ها با تعریف پارامتری که نسبت هیدروژن جذب شده به هیدروژن تولیدی را بیان می‌کند، نشان دادند که تغییرات این نسبت با زمان برای هر آلیاز دارای یک نقطه بیشینه است. یین و همکاران [۱۱] به بررسی تأثیر چگالی جریان بر روی مشخصات سطح و مقاومت به خوردگی در فولاد

پایه‌ی هیدروژن پرداختند. آن‌ها رفتار الکتروشیمیایی شارژ هیدروژنی آلیاز آ-آل^{۱۳} را در نمونه‌هایی با جهت‌گیری‌های مختلف، بررسی کردند. نتایج نشان می‌دهد که شارژ هیدروژنی باعث کاهش انعطاف‌پذیری و مقاومت آلیاز آ-آل^{۱۴} در برابر شکست می‌شود. آزمایش‌های انجام‌شده نشان داد که نمونه‌ها با جهت‌گیری تی-اس بالاترین حساسیت به انباسته شدن هیدروژن در مرزدانه‌ها و ایجاد و رشد ترک در امتداد مرزدانه‌ها را دارند. علاوه بر این نشان داده شد با افزایش مدت زمان پیرسازی در این آلیاز، شکست به دلیل تردی هیدروژنی و ترک‌های هیدروژنی کاهش می‌یابد. در آلومینیوم یک جای خالی می‌تواند بیش از ۱۲ اتم هیدروژن را در خود جای دهد. جاهای خالی همسایه همدیگر را دفع می‌کنند که اگر در یک صفحه‌ی لغش باشند، می‌توانند ترک‌های ریز ایجاد کرده و درنهایت باعث گسیختگی شوند. لو و کسیراس [۳] نشان دادند که جاهای خالی^{۱۵} اتمی می‌توانند با هیدروژن ترکیب شده و یک نقش اساسی در تردی هیدروژنی در مواد جامد انعطاف‌پذیر ایفا کنند. اه و همکاران [۴] در یک مطالعه عددی به بررسی مستقله انتقال و جابجایی هیدروژن پرداختند. آن‌ها نشان دادند که تنش هیدرواستاتیکی و کرنش پلاستیکی جزء پارامترهای مهم در انتقال هیدروژن محسوب می‌شوند؛ که حاکی از کوپل بودن انتقال هیدروژن با تغییر شکل الاستیک - پلاستیک است. لی و همکاران [۵] یک تحلیل جامع از نرخ رشد ترک خوردگی تنشی^{۱۶} ارائه کردند. در کار آن‌ها دو روش مکانیکی، انحلال آنودی^{۱۷} (ای-دی) و تردی هیدروژنی برای محاسبه سرعت رشد اس-سی-سی^{۱۸} در آلیاز ای-ای-۷۰۵۰-۶^{۱۹} برای شکستن سطح در یک محیط آبی در نظر گرفته شد. برای انحلال آنودی، شکل اصلاح‌شده معادله نرست-پلانک^{۲۰} با تأثیر حباب‌های هیدروژنی و رسوب‌ها استفاده شده است. برای تردی هیدروژنی نیز یک فرم ساده از معادله سرعت رشد ترک، مشتق شده و انتشار هیدروژن برای به دست آوردن توزیع اتم‌های هیدروژن در نزدیکی ترک در نظر گرفته شده است. نتایج نشان می‌دهد که هر دو پارامتر ای-دی و تردی هیدروژنی برای پیش‌بینی سرعت رشد

1 AL8090

2 Vacancies

3 Stress Corrosion Cracking (SCC)

4 Anodic Dissolution (AD)

5 SCC

6 AA 7050-T6

7 Nernst-Planck

8 Assisted cracking phenomenon

9 X52

10 Heat affected zone

11 pH NS4

12 API

پرداختند و نتیجه گرفتند که این تنش باعث سوت بخشیدن به نفوذ هیدروژن و توزیع بیشتر آن می‌شود. تنگ و همکاران [۱۶] به بررسی تأثیر هیدروژن بر روی خواص مکانیکی ورق‌های زیرکالویی^۴ پرداختند. مشاهده شد در تمام نمونه‌های هیدروژن‌دهی شده با دمای بالای 400°C شکست نرم اتفاق افتاد. زمانی که دما از 25°C به 100°C می‌رسد، استحکام حدود ۷۰٪ کاهش می‌یابد. به علاوه نتیجه‌گیری شد که تأثیر هیدروژن بر روی کاهش سطح مقطع^۵، بیشتر از تأثیر آن بر روی استحکام است. تنگ و همکاران [۱۷] در مقاله‌ای به بررسی تأثیر روش برش، بر روی تردی هیدروژنی فولاد ام-ان-تی-دبليو-آي-پي^۶ پرداختند. تهیه نمونه‌ها با روش‌های ماشین‌کاری تخلیه الکتریکی^۷، برش لیزری^۸، برش با واترجت^۹ و بلنکینگ^{۱۰} صورت گرفت. مشاهده شد نمونه‌ی با شارژ هیدروژنی و برش داده شده با لیزر به میزان ۶۲٪ در آزمون کشش، افزایش طول داد. نمونه با شارژ هیدروژنی که با روش بلنکینگ تهیه شده بود با ۳۰٪ افزایش طول، کمترین تغییر طول را نشان داد. حساسیت بالای نمونه‌های برش داده شده با روش بلنکینگ به تردی هیدروژنی به دلایل چگالی بالای نابجایی‌ها ناشی از پلاستیسیته محلی ایجاد شده توسط هیدروژن و تنش پسماند ایجاد شده حین برش است.

توجه به مطالعات پیشین، اهمیت بررسی خواص مکانیکی مواد در شرایطی که امکان نفوذ هیدروژن و تردی هیدروژنی وجود دارد را نشان می‌دهد. در مقاله حاضر، آلیاز جی-تی-دی-۴۵۰^{۱۱} به عنوان فولاد زنگ نزن مارتنتزیتی^{۱۲} با استحکام بالا و مقاومت به خوردگی نسبتاً زیاد که در ساخت پره کمپرسورها کاربرد دارد، در شرایط ترک خوردگی با تردی هیدروژنی داخلی قرار گرفته است. همچنین در کنار تردی هیدروژنی، نمونه‌های استاندارد مورد بررسی، با روش دندانه‌گذاری تحت تنش پسماند واقع شده‌اند. بر این اساس، خواص مکانیکی آلیاز به صورت تابعی از تردی هیدروژنی و تنش پسماند مورد ارزیابی قرار گرفته است. نمونه‌ها بعد از ایجاد تنش پسماند، در شرایط شارژ هیدروژنی قرار گرفته و سپس تست کشش بر روی آن‌ها انجام

۴ Zircaloy-4
 5 Reduction of area
 6 high-Mn TWIP
 7 Electrical discharge machining
 8 Laser cutting
 9 Abrasive waterjet cutting
 10 Blanking
 11 GTD450
 12 Martensitic stainless steel

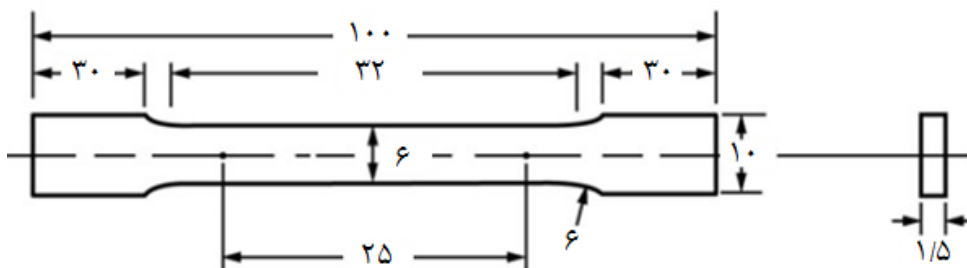
۱۴۴۵-۱-ام^{۱۳} پرداختند. نتایج نشان می‌دهد که با افزایش چگالی جریان میزان جذب هیدروژن در فولاد افزایش یافته و افزایش چگالی جریان سبب ایجاد تاول هیدروژنی و بزرگ‌تر شدن اندازه تاول‌های ایجاد شده در سطح می‌شود. همچنین ارتباط خاصی بین محل ایجاد حفره‌های خوردگی و تاول‌های هیدروژنی از نتایج تجربی این بررسی مشاهده نشد. کارنو و همکاران [۱۲] به ارائه مدلی برای محاسبه تأثیر صافی سطح بر روی غلظت هیدروژن در فولادهای کم‌کربن پرداختند. در این مدل‌سازی از قانون دوم فیک استفاده شد و پس از تشکیل معادله، برای حل از روش تفاضل محدود^{۱۴} استفاده گردید. مشاهده شد نتایج حل عددی و تجربی بر هم منطبق هستند که بیانگر این واقعیت است که با افزایش صافی سطح، غلظت هیدروژن در فولاد کاهش می‌یابد. بولزونی [۱۳] به مطالعه شارژ هیدروژنی در فولادهای کم‌آلیاز ایکس ۶۵۵ و اف ۲۲ پرداخت. برای اندازه‌گیری میزان هیدروژن در نمونه‌های شارژ هیدروژنی شده از دو روش حمام گلیسرول و آنالیزور هیدروژن ال-ای-سی-۱ استفاده شد. تاکاکوا و همکاران [۱۴] به بررسی ارتباط بین هیدروژن و تنش سطحی در فولاد ضدزنگ آستینیتی پرداختند. برای ایجاد تنش پسماند مختلف، با استفاده از چندین دیسک سمباده، صافی سطح متفاوتی بر روی نمونه‌ها ایجاد شد. پس از شارژ هیدروژنی، میزان هیدروژن جذب شده با روش آنالیز دفع گرمایی^{۱۵} به دست آمده است. نتایج نشان می‌دهد که جذب هیدروژن در نمونه با تنش پسماند اولیه (کششی یا فشاری) سبب کاهش مقادیر تنش پسماند با زمان می‌شود؛ به طوریکه در مقادیر پایین تنش پسماند کششی با اشباع شدن نفوذ هیدروژن و جایگیری اتم‌های هیدروژن داخل شبکه فلزی، تنش پسماند فشاری در نمونه ایجاد می‌شود. همچنین در نمونه با تنش پسماند فشاری با گذشت زمان، مقادیر تنش پسماند فشاری افزایش می‌یابد. مقایسه میزان تغییرات تنش پسماند در دو حالت قبل و بعد از شارژ هیدروژنی نشان می‌دهد که میزان نفوذ هیدروژن در نمونه با تنش پسماند کششی بیشتر از نمونه با تنش پسماند فشاری است؛ به عبارت دیگر، حضور تنش پسماند کششی سبب جذب بیشتر هیدروژن در مقایسه با تنش پسماند فشاری می‌گردد. جیانگ و همکاران [۱۵] به بررسی عددی تأثیر تنش‌های پسماند ناشی از جوشکاری بر روی توزیع هیدروژن

۱ 445J1M
 2 Finite differences method
 3 Thermal desorption analysis

جدول ۱. ترکیب شیمیایی فولاد AISI Custom450 [۱۹]

Table 1. Chemical composition of AISI Custom450 steel [19].

عنصر	C	Mn	Si	P	Co	Cr	Ni	Mo	Cu	Nb	V	Fe
درصد (%)	۰/۰۲۷	۰/۶	۰/۲۴۵	۰/۰۱۶۶	۰/۰۶۰۴	۱۵/۱۷	۶/۴۳	۰/۷۹	۱/۴۸	۰/۳۵	۰/۰۸	تعادلی



شکل ۱. طرحواره نمونه استاندارد آزمایش کشش.

Fig. 1. A schematic of Standard sample of tensile test.

این روش سطح نمونه‌ها از سمباده ۸۰ تا سمباده ۳۰۰۰ به طوری که سطوحی براق و آینه‌ای حاصل شود، پلیش شد. بر روی هر نمونه سه دندانه‌گذاری^۵، یکی در وسط و دو مورد در طرفین، به فاصله ۵ میلی‌متر از مرکز انجام گرفت. برای دندانه‌گذاری از دستگاه کشش سنتام مدل اس-تی-ام-۲۵۰ و یک شفت هارد کروم^۶ به قطر ۶ میلی‌متر استفاده گردید. تنش پسماند حاصل از این دندانه‌گذاری در دو سطح ۵ کیلو نیوتون و ۹ کیلو نیوتون با سرعت ۰/۵ میلی‌متر بر دقیقه، بر روی نمونه‌ها اعمال شده‌اند. به منظور اعمال تردی هیدروژنی از روش الکتروشیمیایی برای پیش‌شارژ نمونه‌ها در محلول ۵٪ مولا سولفوریک اسید^۷ در دمای محیط استفاده شد. مدار و سل شارژ هیدروژنی مورد استفاده در شکل ۲ نشان داده شده است. در این سل، نمونه به عنوان کاتد و الکترود گرافیتی به عنوان آند انتخاب شد. در این آزمایش با کاهش مولکول‌های آب، هیدروژن بر روی سطح نمونه تولید می‌شود. در بسیاری از پدیده‌های متالوژیکی مانند خوردگی و تردی هیدروژنی اندرکنش میان سطح فلز و محیط پیرامون آن شکل می‌گیرد. عامل تردی هیدروژنی ایجاد یون هیدروژن بر روی سطح فلز و نفوذ آن به داخل ماده است؛ اما علاوه بر این اتفاق با به هم پیوستن اتم‌های هیدروژن مولکول هیدروژن تشکیل شده و با ایجاد حباب از سطح فلز جدا و با بزرگ شدن از محلول خارج می‌شود [۱۰].

شد. بر این اساس، تغییرات خواص مکانیکی نمونه شامل تنش تسلیم، تنش نهایی، انعطاف‌پذیری و کاهش سطح مقطع شکست و چقرمگی، بر حسب تغییرات تنش پسماند و تردی هیدروژنی گزارش شده است.

۲- انتخاب و آماده‌سازی نمونه

نمونه‌های استاندارد آزمایش کشش شده در این پژوهش از جنس فولاد ای-اس-آی کاستم^۱ ۴۵۰ است؛ که از ریشه پره کمپرسور، با استفاده از روش واپرکات^۲ تهیه شده‌اند. این فولاد از گروه فولادهای زنگ نزن مارتنتزیتی تمپر شده با استحکام بالا و مقاومت به خوردگی نسبتاً زیاد است. ترکیب شیمیایی این فولاد در جدول ۱ آورده شده است.

این فولاد مربوط به خانواده فولادهای ضدزنگ رسوب‌سختی شونده^۳ است؛ که در دمای K1311 به مدت ۳۰ دقیقه عملیات حرارتی شده و سپس در آب سریع سرد می‌شوند. سپس عملیات پیرسختی در بازه دمایی K ۷۸۹۳ تا ۷۵۵ به مدت چهار ساعت بر روی آن‌ها انجام می‌شود. نمونه استاندارد آزمایش کشش، از نوع تخت بر اساس استاندارد ای-اس-آی-ام-۸۴^۴ است. ابعاد نمونه انتخاب شده در شکل ۱ بر حسب میلی‌متر آورده شده‌اند.

برای آماده‌سازی سطح از روش پلیش مکانیکی استفاده شد. در

۱ AISI Custom450

۲ Wire Cut

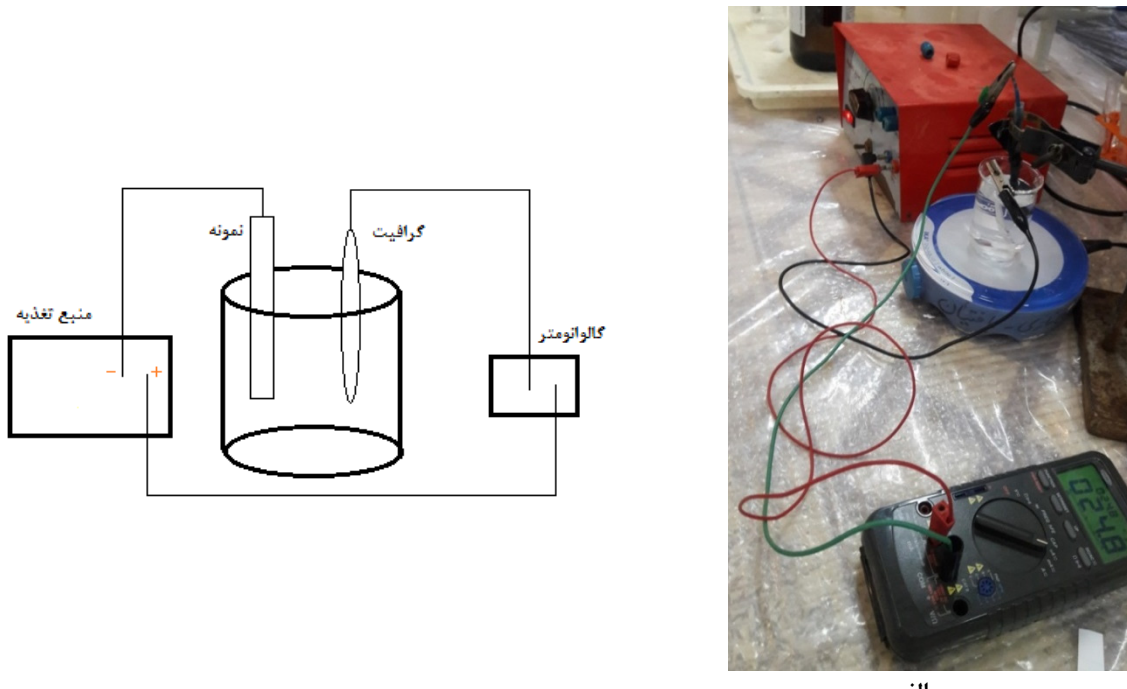
۳ Precipitation hardening stainless steel

۴ ASTM E8

۵ Indentation

۶ Hard chrome

۷ Sulfuric acid (H_2SO_4)



شکل ۲. مدار و سل شارژ هیدروژنی مورداستفاده. الف) مدار واقعی ب) طرحواره مدار.
Fig. 2. Hydrogen charging circuit and cell. a) Real circuit b) Schematic circuit.



شکل ۳. نمونه آماده شده جهت انجام شارژ هیدروژنی.
Fig. 3. Sample prepared for hydrogen charging.

نمونه‌ها بلافصله پس از شارژ هیدروژنی تحت آزمایش کشش، با سرعت 3 mm/min قرار گرفتند. به منظور اندازه‌گیری میزان جابجایی نسبی طول مشخصه نمونه در حین آزمایش، از اکستنسومتر^۴ تکمحوری استفاده گردید. اکستنسومتر به ابتدا و انتهای طول مشخصه که در نمونه استاندارد مورد آزمایش، 25 میلیمتر است، متصل و در حین آزمایش کشش، تغییرات طول مشخصه ثبت شد. برای محاسبه میزان هیدروژن جذب شده به نمونه‌ها از روش اکسیداسیون الکتروشیمیایی هیدروژن استفاده شد. سل و مدار دشارژ هیدروژن در شکل ۴ آورده شده است.

ابتدا کل سطح دو نمونه با چسب و لак پوشانده شد (شکل ۵) و تنها سطحی به مساحت 18 cm^2 ، در مرکز نمونه، بدون پوشش ماند تا در معرض محلول قرار بگیرد. سپس یکی از نمونه‌ها ابتدا در

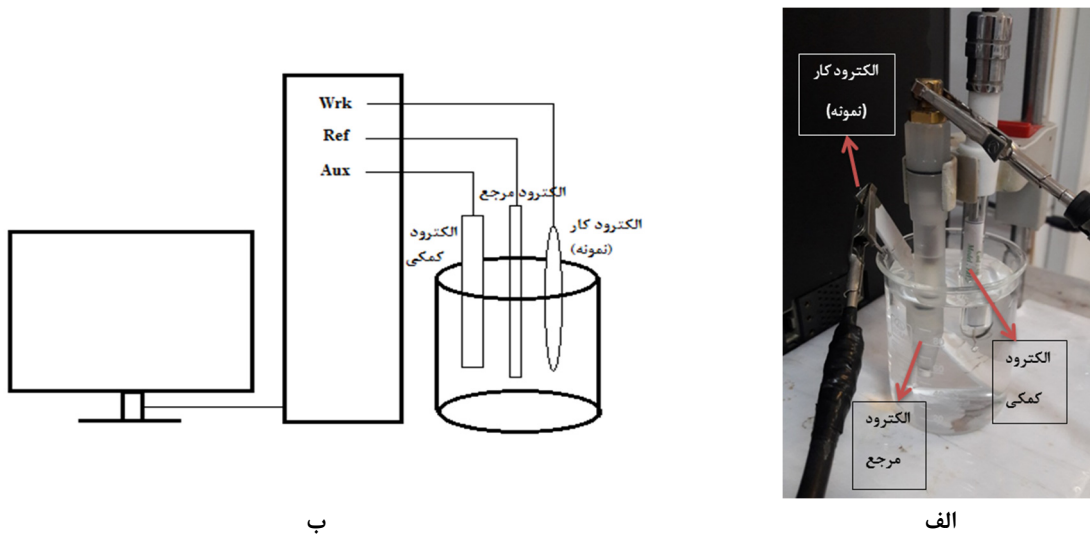
وجود برخی عناصر در محیط الکترولیت می‌تواند این دو واکنش را تحت تأثیر قرار دهد. طبق پژوهش‌های انجام شده وجود برخی عناصر مانند P, As, Sn, Sb, S, Pb و Se در الکترولیت، با کاهش ثابت نرخ ترکیب مجدد^۱، نرخ تشکیل مولکول هیدروژن از اتم هیدروژن را کم می‌کنند. درنتیجه هیدروژن نفوذی بیشتر و تردی هیدروژنی نیز افزایش می‌یابد [۲۰]؛ بنابراین، برای جلوگیری از به هم پیوستن اتم‌های هیدروژن و تشکیل مولکول هیدروژن، به میزان $1/25 \text{ gr}$ تری‌اکسید‌آرسنیک^۲ به محلول اضافه شد [۲۱].

فرآیند شارژ هیدروژنی از یک وجه نمونه انجام می‌گیرد. به همین دلیل مطابق شکل ۳ همه سطوحی که داخل محلول شارژ قرار می‌گیرند، به جز ناحیه طول مشخصه^۳، با لак و چسب پوشانده شد.

1 Recombination rate constant

2 Arsenic trioxide (As_2O_3)

3 Gage length



شکل ۴. سلول و مدار دشارژ هیدروژن. الف) سلول واقعی ب) طرحواره مدار.

Fig. 4. Hydrogen discharge cell and circuit. a) Real cell b) Schematic circuit.



شکل ۵. نمونه آماده شده برای شارژ و دشارژ هیدروژن.

Fig. 5. Sample prepared for hydrogen charging and discharging.

بر روی سطح نمونه از رابطه (۱) استفاده می‌شود.

$$Q_H^{ev} = \int_0^{\tau_{exp}} I_{cath}(\tau) d\tau \quad (1)$$

مقدار هیدروژن جذب شده توسط فلز در آزمایش دشارژ هیدروژنی^۱ تحت پلاریزاسیون آندی^۲ از رابطه (۲) به دست می‌آید:

$$Q_H^{abs} = \int_0^{\tau_{dis}} [I_H(\tau) - I_{ref}(\tau)] d\tau \quad (2)$$

در روابط (۱) و (۲) پتانسیل ثابت فرض شده است. همچنین $I_{cath}(\tau)$ نشان‌دهنده جریان پلاریزاسیون کاتدی است. در رابطه (۳) $I_H(\tau)$ جریان پلاریزاسیون آندی برای نمونه‌ای است که قبلاً شارژ هیدروژنی شده و $I_{ref}(\tau)$ جریان پلاریزاسیون آندی برای نمونه‌ی

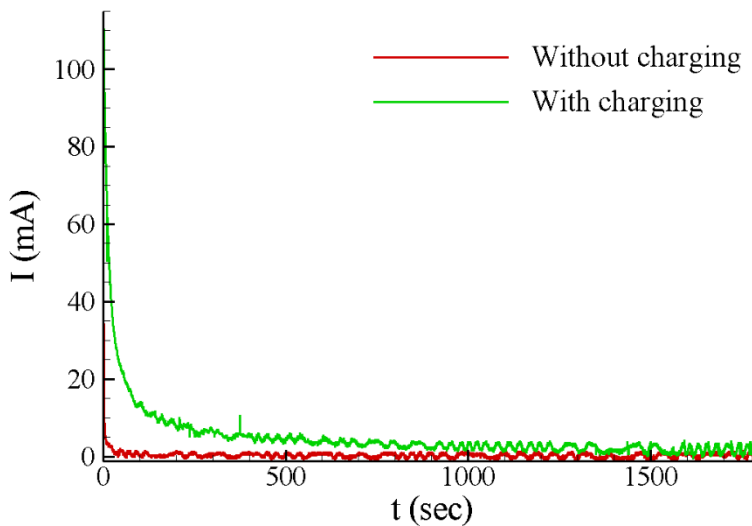
محلول معرفی شده برای پیش‌شارژ، به مدت ۳۰ دقیقه، تحت شارژ هیدروژنی با دانسیته جریان $165 \mu\text{A}/\text{cm}^2$ قرار گرفت. بلاfangله پس از شارژ، نمونه به سل دشارژ منتقل شده و به عنوان الکترود کاری بسته شد. عملیات دشارژ در محلول 0.2 Molar سدیم هیدروکسید $\text{mV}(\text{SCE})$ به مدت ۱۸۰۰ ثانیه و تحت پتانسیل آندی ثابت $168 \text{ mV}(\text{SCE})$ انجام گرفت. با دیگر این روند برای نمونه دوم ولی بدون پیش‌شارژ تکرار گردید. نمودار جریان پلاریزاسیون (شکل ۶) بر حسب زمان از طریق دستگاه متصل به کامپیوتر به دست آمد.

۳- محاسبه میزان هیدروژن جذب شده

دو پارامتر مهم تأثیرگذار بر شارژ هیدروژنی زمان شارژ و چگالی جریان در مدار شارژ است. این دو فاکتور رابطه‌ی مستقیم با میزان غلظت هیدروژن دارند و با افزایش هر کدام میزان هیدروژن حل شده در فولاد افزایش می‌یابد [۲۲]. برای محاسبه میزان هیدروژن تولید شده

¹ Hydrogen discharging

² Anodic polarization



شکل ۶. نمودار جریان پلاریزاسیون برحسب زمان برای دو نمونه شارژ شده و بدون شارژ.

Fig. 6. Diagram of polarization current over time for two charged and uncharged samples.

جدول ۲. مقادیر هیدروژن برای نمونه‌های با ۳۰ دقیقه، ۱ ساعت و ۲ ساعت شارژ هیدروژنی.

Table 2. Hydrogen values for samples with 30 minutes, 1 hour and 2 hours of hydrogen charge.

$C_H \left(\frac{\text{mol}}{\text{cm}^3} \right)$	$Q_H^{abs} (\text{mA} \times \text{s})$	مدت زمان شارژ/دشارژ هیدروژنی
$3/27 \times 10^{-6}$	۸/۵	۳۰ دقیقه
$9/44 \times 10^{-6}$	۲۴/۶	۱ ساعت
$16/77 \times 10^{-6}$	۴۳/۷	۲ ساعت

۴- مقدمات تحلیل آماری و تعریف پارامترها

بدون هیدروژن است.

در این مقاله سهم مشارکت P هر کدام از متغیرهای مستقل بر روی متغیرهای وابسته به کمک تحلیل آماری محاسبه خواهد شد. به عبارت دیگر، سهم مشارکت دو پارامتر تردی هیدروژنی و تنش پسماند بر هر کدام از متغیرهای وابسته شامل تنش تسیلیم، تنش نهایی، انعطاف‌پذیری، کاهش سطح مقطع شکست، چقرومگی و سختی، گزارش می‌شود. بدین منظور فرض کنید $P_{H,R}$ سهم مشارکت تردی هیدروژنی و $P_{res,R}$ سهم مشارکت تنش پسماند بر متغیر وابسته دلخواه R باشد. برای محاسبه سهم مشارکت $P_{H,R}$ و $P_{res,R}$ از روابط (۴) و (۵) استفاده می‌شود [۲۳]:

$$P_{H,R} = \frac{S_{H,R}}{S_{T,R}} \times 100 \quad (4)$$

$$P_{res,R} = \frac{S_{res,R}}{S_{T,R}} \times 100 \quad (5)$$

$$C_H = \frac{Q_H^{abs}}{zFv} \quad (3)$$

در این رابطه z تعداد الکترون‌های شرکت‌کننده در واکنش، F ثابت فارادی و برابر با ۹۶۴۸۷ C/mol و v حجم مؤثر نمونه برحسب سانتی‌متر مکعب (حاصل ضرب سطح در تماس با محلول در ضخامت نمونه) است [۹]. با محاسبه مساحت بین دو نمودار به‌وسیله کد مطلب، Q_H^{abs} برابر با $۸/۵۲ \text{ mA.S}$ به دست آمد. همچنین از طریق رابطه (۳) میزان هیدروژن $3/27 \times 10^{-6} \text{ mol/cm}^3$ محاسبه شد. در جدول ۲ مقادیر هیدروژن برای نمونه‌های با ۳۰ دقیقه، ۱ ساعت و ۲ ساعت شارژ هیدروژنی شده، آورده شده است.

1 Concentration

$$CF = \frac{\left(\sum_{i=1}^{N_{H,1}} R_{H,1} + \sum_{i=1}^{N_{H,2}} R_{H,2} \right)^2}{N_{H,1} + N_{H,2}} \quad (10)$$

برای محاسبه مقدار CF می‌توان از رابطه (۱۱) نیز استفاده کرد:

$$CF = \frac{\left(\sum_{i=1}^{N_{res,1}} R_{res,1} + \sum_{i=1}^{N_{res,2}} R_{res,2} \right)^2}{N_{res,1} + N_{res,2}} \quad (11)$$

آخرین پارامتری که برای محاسبه سهم مشارکت نیاز است، واریانس کل است. برای محاسبه آن، رابطه (۱۲) ارائه شده است [۲۳].

$$S_{T,R} = \sum_{i=1}^{N_{res,1}} R_{res,1}^2 + \sum_{i=1}^{N_{res,2}} R_{res,2}^2 - CF \quad (12)$$

پارامترهای انعطاف‌پذیری L ، کاهش سطح مقطع شکست A و چرمگی U_T به ترتیب در روابط (۱۳)، (۱۴) و (۱۵) آورده شده است.

$$L = \frac{l_f - l_0}{l_0} \quad (13)$$

$$A = \frac{A_0 - A_f}{A_0} \quad (14)$$

$$U_T = \int \sigma d\varepsilon \quad (15)$$

که در آن‌ها A و σ به ترتیب طول نمونه، سطح مقطع نمونه، تنش و کرنش می‌باشند. همچنین به منظور محاسبه مقدار درصد اختلاف هر پارامتر با مقدار متناظر در حالت مبنا a ، مقدار اختلاف هر پارامتر با مقدار متناظر در حالت مبنا a ، انحراف استاندارد S و خطای استاندارد میانگین S_e در هر آزمایش به ترتیب از روابط (۱۶) تا (۱۸) استفاده شده است.

$$e = \frac{\bar{R} - \bar{R}_b}{\bar{R}_b} \times 100 \quad (16)$$

$$d = \bar{R} - \bar{R}_b \quad (17)$$

$$S = \sqrt{\frac{\sum_{i=1}^N (R_i - \bar{R})^2}{(N-1)}} \quad (18)$$

در روابط (۴) و (۵)، $S_{H,R}$ و $S_{res,R}$ به ترتیب واریانس کل پارامترهای تردی هیدروژنی و تنش پسماند به ازای متغیر دلخواه R هستند. برای محاسبه مقادیر S_H و S_{res} از روابط (۶) و (۷) استفاده می‌شود [۲۳].

$$S_{H,R} = \frac{R_{H,1}^2}{N_{H,1}} + \frac{R_{H,2}^2}{N_{H,2}} - CF \quad (6)$$

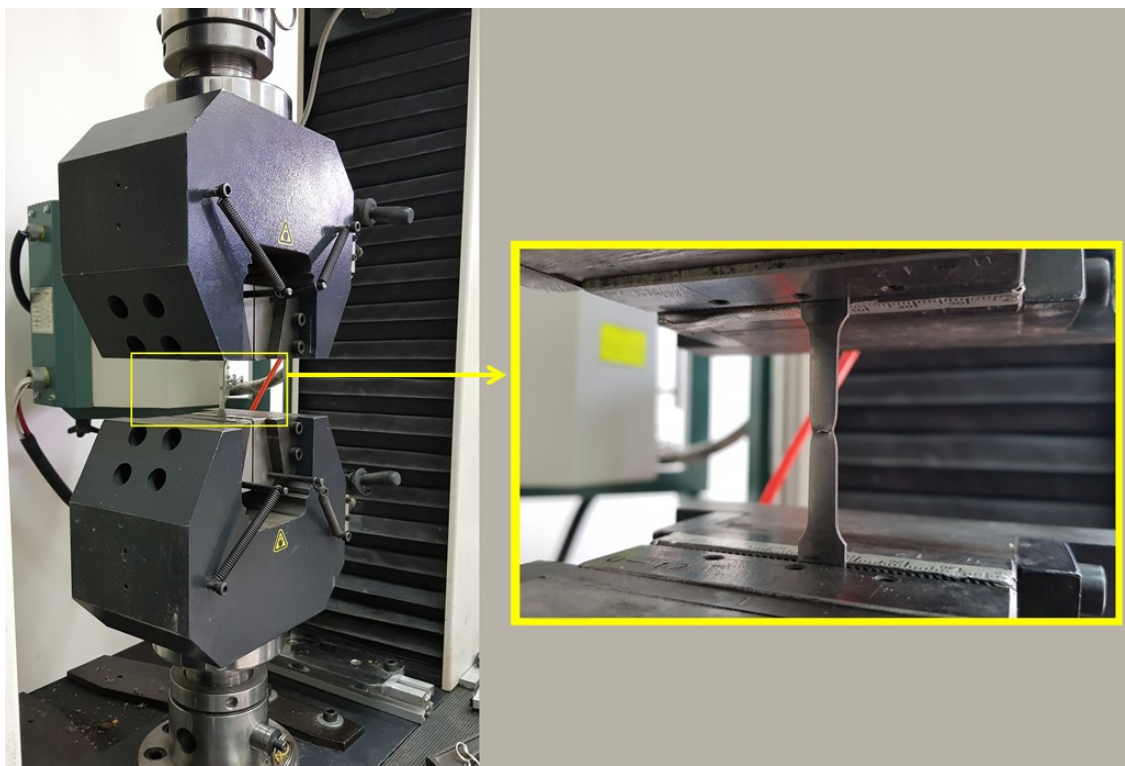
$$S_{res,R} = \frac{R_{res,1}^2}{N_{res,1}} + \frac{R_{res,2}^2}{N_{res,2}} - CF \quad (7)$$

در روابط بالا، زیرنویس ۱ و ۲ به ترتیب سطوح ۱ و ۲ را برای دو پارامتر تردی هیدروژنی و تنش پسماند نشان می‌دهد. لازم به ذکر است که تردی هیدروژنی در دو سطح شارژ یک ساعته و شارژ دو ساعته و تنش پسماند در دو سطح مرتبط با دو نیروی ۵ و ۹ کیلو نیوتونی تنظیم شده‌اند. در روابط (۶) و (۷)، پارامترهای R_H و R_{res} به ترتیب مربع مجموع مقادیر متغیر وابسته R به ازای مقادیر ثابت تردی هیدروژنی و تنش پسماند است؛ که به صورت روابط (۸) و (۹) محاسبه می‌شوند [۲۳]:

$$R_{H,1}^2 = \left(\sum_{i=1}^{N_{H,1}} R_{H,1} \right)^2, R_{H,2}^2 = \left(\sum_{i=1}^{N_{H,2}} R_{H,2} \right)^2 \quad (8)$$

$$R_{res,1}^2 = \left(\sum_{i=1}^{N_{res,1}} R_{res,1} \right)^2, R_{res,2}^2 = \left(\sum_{i=1}^{N_{res,2}} R_{res,2} \right)^2 \quad (9)$$

همچنین تعداد کل آزمایش‌ها به ازای سطح ۱ تردی هیدروژنی و دو سطح تنش پسماند (با احتساب تعداد کل تکرارها) با $N_{H,1}$ و $N_{H,2}$ تعداد کل آزمایش‌ها به ازای سطح ۲ تردی هیدروژنی و دو سطح تنش پسماند (با احتساب تعداد کل تکرارها) با $N_{res,1}$ نشان داده شده است. به طور مشابه تعداد کل آزمایش‌ها به ازای سطح ۱ تنش پسماند و دو سطح تردی هیدروژنی (با احتساب تعداد کل تکرارها) با $N_{res,2}$ و تعداد کل آزمایش‌ها به ازای سطح ۲ تنش پسماند و دو سطح تردی هیدروژنی (با احتساب تعداد کل تکرارها) با $N_{res,2}$ نشان داده شده است. در روابط (۶) و (۷)، پارامتر CF ، فاکتور تصحیح بوده که به صورت رابطه (۱۰) تعریف می‌شود [۲۳]:



شکل ۷. نمایش آزمون کشش در دستگاه SANTAM STM-250

Fig. 7. Picture of tensile test on SANTAM STM-250

۱-۵- تنش تسلیم

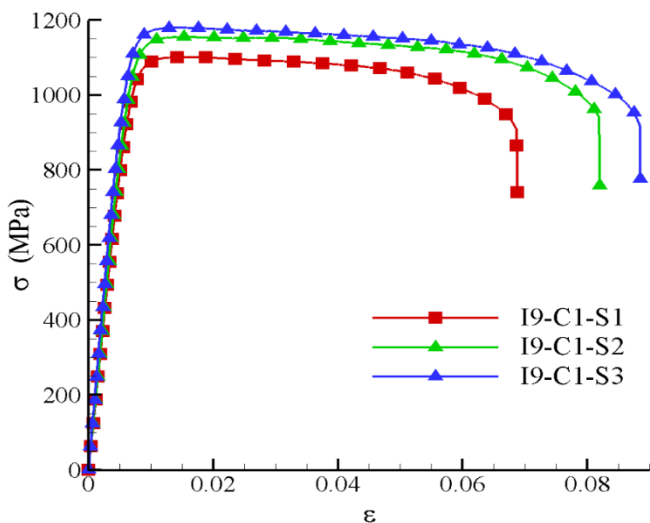
همان طور که اشاره شد، آزمایش‌ها در دو سطح به ازای متغیرهای مستقل (تردی هیدروژنی و تنش پسماند) طراحی شده‌اند. همچنین هر آزمایش سه بار تکرار خواهد شد. از سوی دیگر و با توجه به وجود یک آزمایش مبنا مربوط به نمونه بدون شارژ هیدروژنی و تنش پسماند صفر، تعداد کل آزمایش‌ها ۱۵ مورد خواهد بود. به منظور تسهیل در نام‌گذاری آزمایش‌ها، از عبارت Iq-Cm-Nn استفاده شده است. در این روش نام‌گذاری، حرف q مقدار نیروی اعمالی (کیلو نیوتن)، زمان (ساعت) شارژ هیدروژنی و حرف n مرتبه تکرار آزمایش را نشان می‌دهد. آزمایش کشش نمونه در آزمایشگاه «اندازه‌گیری و تحلیل تنش‌های پسماند» دانشگاه زنجان، توسط دستگاه سنتگاه است-تی-ام-۲۵۰-۱۵ مطابق شکل ۷ انجام شده است. همچنین اندازه‌گیری جابجایی طول سنجه نمونه استاندارد در حین آزمایش به وسیله اکستنسومتر صورت پذیرفته است. ذکر این نکته ضروری است که سطح مقطع نمونه بعد از دندانه‌گذاری اندازه‌گیری مجدد شده و مقدار تنش مهندسی بر اساس سطح مقطع تغییر یافته محاسبه شده است. به عنوان مثال، در آزمایش N۲-C۲-I۵ (آزمایش مربوط به تنش

$$S_e = \frac{S}{\sqrt{N}} \quad (19)$$

در روابط (۱۶) تا (۱۹) \bar{R} مقدار متوسط پارامتر R بعد از N بار تکرار است. همچنین \bar{R}_b مقدار متوسط کمیت R در شرایط مبنا است.

۵- نتایج

در این قسمت به بررسی اثرات تردی هیدروژنی و تنش پسماند بر روی خواص مکانیکی تست کشش مربوط به نمونه جی-تی-دی-۴۵۰ پرداخته می‌شود. طراحی آزمایش‌ها به گونه‌ای است که هر کدام از پارامترهای مستقل شامل تردی هیدروژنی و تنش پسماند در دو سطح تعریف شده‌اند. به عبارت دیگر، فرآیند شارژ هیدروژنی در دو گروه شارژ یک ساعته و شارژ دو ساعته و تنش پسماند در دو گروه توسط نیروهای ۵ کیلو نیوتنی و ۹ کیلو نیوتنی ایجاد شده‌اند. خواص مکانیکی مورد بررسی شامل تنش تسلیم، تنش نهایی، انعطاف‌پذیری، کاهش سطح مقطع شکست و چقرمگی است.



شکل ۸. نمودار تنش بر حسب کرنش در شرایط I9-C1 برای سه تکرار S1، S2 و S3.

Fig. 8. Stress diagram in terms of strain in I9-C1 conditions for three repetitions S1, S2 and S3.

از این رو، در هر بخش مقدار انحراف استاندارد δ و خطای استاندارد میانگین $S\sigma$ برای هر پارامتر در هر آزمایش به طور مشخص گزارش خواهد شد. به عنوان مثال در آزمایش I9-C1 (شکل ۸)، انحراف استاندارد برای تنش تسلیم $S\sigma = 0.08$ ، $S\delta = 0.07$ و خطای استاندارد میانگین $S\epsilon = 0.0087$ به دست آمده است. با مقایسه مقدار خطای استاندارد میانگین با میزان تغییرات تنش تسلیم در این آزمایش نسبت به حالت مبنا $d = 0.0491$ ، مشاهده می‌شود که تغییرات ثبت شده در این آزمایش در محدوده خط قرار گرفته و قابل استناد نیست.

برای محاسبه مقدار تنش تسلیم، خطی از نقطه $(0, 0.002)$ با شبیه برابر با مدل الاستیسیته (قابل محاسبه توسط شبیه نمودار تنش-کرنش) ترسیم شده است. محل برخورد این خط با نمودار تنش-کرنش، مقدار تنش تسلیم را مشخص خواهد کرد. جدول ۳ مقدار تنش تسلیم را برای حالت مبنا و به ازای ۳ تکرار و مقدار متوسط آن گزارش می‌کند. مطابق با این جدول مقدار متوسط تنش تسلیم برای نمونه اولیه 10.86 ± 0.06 MPa با 13.33 ± 0.06 واحد انحراف استاندارد به همراه 4 ± 0.06 واحد خطای استاندارد میانگین به دست آمده است. همچنین جدول ۴ مقدار تنش تسلیم در هر تکرار σ_y ، مقدار متوسط تنش تسلیم $\bar{\sigma}_y$ ، درصد اختلاف مقدار متوسط با مقدار متوسط حالت مبنا σ ٪، اختلاف مقدار متوسط با مقدار متوسط حالت مبنا d ، انحراف استاندارد S و خطای استاندارد میانگین S را برای چهار آزمایش I5-C1، I5-C2، I9-C1 و I9-C2 گزارش کرده است.

پسماند ناشی از نیروی ۵ کیلو نیوتونی، شارژ هیدروژنی دو ساعته و تکرار دوم) مساحت سطح مقطع نمونه از مقدار $6 \times 1/5 \text{ mm}^2$ به میزان $6 \times 1/32 \text{ mm}^2$ در محل دندانه‌گذاری کاهش یافته است.

نتایج مربوط به تغییرات تنش تسلیم بر حسب کرنش برای حالت I9-C1 و برای سه تکرار در شکل ۸ آورده شده است. بر این اساس مشاهده می‌شود که میان نتایج سه آزمایش در شرایط مشابه تطابق کامل وجود ندارد. این موضوع را می‌توان به عوامل ایجاد خطا در حین آماده‌سازی نمونه و انجام آزمایش کشش نسبت داد. آماده‌سازی نمونه در محلول شارژ در سه آزمایش مختلف کاملاً مشابه نخواهد بود، چراکه میزان جذب هیدروژن توسط نمونه علاوه بر میزان غلظت محلول، به سطحی از نمونه که با محلول در تماس است، بستگی دارد. میزان غلظت محلول در تمام آزمایش‌ها یکسان در نظر گرفته شده است؛ اما سطحی از نمونه که در معرض محلول قرار دارد، می‌تواند اندکی تغییر کند. دلیل تغییر این سطح، جدا شدن چسب از سطح روی نمونه به علت خیس شدن آن است. همچنین دقت دستگاه تست کشش در ثبت کرنش‌ها توسط اکستنسومتر و نیز احتمال سُرخوردن نمونه از فک‌های دستگاه می‌تواند منشأ تولید خطا باشد.

اطلاعات استخراج شده از نمودار تنش-کرنش می‌تواند هر یک از پارامترهای تنش تسلیم σ_y ، تنش نهایی σ_{uts} ، درصد انعطاف‌پذیری L و چرمگی U_T باشد. مقدار خطای ایجاد شده مرتبط با هر کدام از این پارامترها نسبت به مقدار متوسط سه آزمایش، یکسان نیست.

جدول ۳. مقادیر تنش تسلیم در هر تکرار $\sigma_{y,i}$ ، مقدار متوسط تنش تسلیم $\bar{\sigma}_y$ ، انحراف استاندارد S و خطای میانگین استاندارد S_e در آزمایش مینا.

Table 3. The values of yield stress in each repetition $\sigma_{y,i}$, the mean value of yield stress $\bar{\sigma}_y$, the standard deviation S and the mean standard error of S_e in the baseline experiment.

I-C						نام آزمایش	
$\sigma_{y,1}$	$\sigma_{y,2}$	$\sigma_{y,3}$	$\bar{\sigma}_y$	S	S_e	متغیر	
۱۰۸۹/۱۱	۱۰۹۷/۶	۱۰۷۱/۴۷	۱۰۸۶/۰۶	۱۳/۳۳	۷/۷۰	تنش تسلیم	(MPa)

جدول ۴. مقادیر تنش تسلیم در هر تکرار $\sigma_{y,i}$ ، مقدار متوسط تنش تسلیم $\bar{\sigma}_y$ ، درصد اختلاف مقدار متوسط با حالت مینا $e\%$ ، انحراف استاندارد S اختلاف مقدار متوسط با مقدار متوسط حالت مینا d و خطای استاندارد میانگین S_e در چهار آزمایش I9-C2، I5-C1، I5-C2 و I9-C1 و

Table 4. The values of yield stress in each repetition $\sigma_{y,i}$, the mean value of yield stress $\bar{\sigma}_y$, the percentage difference between the mean value and the base state $e\%$, the standard deviation S the difference between the mean value and the base state d and the mean standard error S_e in four experiments I5-C1, I5-C2, I9-C1 and I9-C2.

I5-C1						نام آزمایش		
$\sigma_{y,1}$	$\sigma_{y,2}$	$\sigma_{y,3}$	$\bar{\sigma}_y$	$e\%$	d	S	S_e	متغیر
۱۰۶۷/۱۵	۱۱۲۲/۷	۱۰۳۸/۵۹	۱۰۷۶/۱۵	-۰/۹۱	-۹/۹۱	۴۲/۷۷	۲۴/۶۹	تنش تسلیم (MPa)
I5-C2								
$\sigma_{y,1}$	$\sigma_{y,2}$	$\sigma_{y,3}$	$\bar{\sigma}_y$	$e\%$	d	S	S_e	متغیر
۱۰۲۷/۸	۱۰۷۶/۴۳	۱۱۰۴/۴۸	۱۰۶۹/۵۷	-۱/۵۲	-۱۶/۴۹	۳۸/۷۹	۲۲/۴۰	تنش تسلیم (MPa)
I9-C1								
$\sigma_{y,1}$	$\sigma_{y,2}$	$\sigma_{y,3}$	$\bar{\sigma}_y$	$e\%$	d	S	S_e	متغیر
۱۰۵۶/۸۴	۱۱۱۵/۰۴	۱۱۴۰/۹۷	۱۱۰۴/۲۸	۱/۶۸	۱۸/۲۲	۴۳/۰۸	۲۴/۸۷	تنش تسلیم (MPa)
I9-C2								
$\sigma_{y,1}$	$\sigma_{y,2}$	$\sigma_{y,3}$	$\bar{\sigma}_y$	$e\%$	d	S	S_e	متغیر
۱۱۲۳/۹۴	۱۰۲۰/۹	۱۱۲۹/۶۵	۱۰۹۱/۵۰	۰/۵	۵/۴۴	۶۱/۲۱	۳۵/۳۴	تنش تسلیم (MPa)

پارامتر تنش پسماند و تردی هیدروژنی بر تنش تسلیم نشان می‌دهد که سهم مشارکت تنش پسماند $P_{res} = ۹/۳۷$ است که در مقایسه با سهم تردی هیدروژنی $P_H = ۱/۴$ مقدار قابل توجهی دارد. لازم به ذکر است که مقادیر گزارش شده تحت عنوان سهم مشارکت تردی هیدروژنی و تنش پسماند در بازه تغییرات اعمال شده در مقاله حاضر، محاسبه شده است. ناچیز بودن سهم تردی هیدروژنی بر روی تنش تسلیم و مدول الاستیسیته توسط سازمان ناسا صحت نتایج این پژوهش را تأیید می‌کند [۱].

با مقایسه مقادیر متوسط تنش تسلیم در چهار سطح I5(C1,C2) و I9(C1,C2) با مقادیر متوسط در حالت مینا، اختلاف معناداری مشاهده نمی‌شود؛ چراکه بیشینه اختلاف میان نتایج چهار سطح مورد اشاره با حالت مینا در حدود ۱/۶۸٪ است. لازم به ذکر است که این میزان تغییرات نیز در دامنه خطای استاندارد میانگین قرار داشته و قابل استناد نخواهد بود. از سوی دیگر، انحراف استاندارد نیز در محدوده ۳۸/۶۱ $< S < ۷۹/۲۱$ قرار دارد که حاکی از پراکندگی کم داده‌ها نسبت به مقدار متوسط است. بررسی سهم مشارکت دو

جدول ۵. مقادیر تنش نهایی در هر تکرار $\sigma_{uts,i}$ ، مقدار متوسط تنش نهایی $\bar{\sigma}_{uts}$ ، درصد اختلاف مقدار متوسط با حالت مبنا $e\%$ ، انحراف استاندارد S اختلاف مقدار متوسط حالت مبنا d و خطای استاندارد میانگین S_e در چهار آزمایش I5-C1، I5-C2، I9-C1 و I9-C2.

Table 5. The values of the ultimate stress in each repetition $\sigma_{uts,i}$, the mean value of the ultimate stress, the percentage difference between the mean value and the base state $e\%$, the standard deviation S , the difference between the mean value and the base state d and the mean standard error S_e in four experiments I5-C1, I5 -C2, I9-C1 and I9-C2.

نام آزمایش								
$\sigma_{uts,1}$	$\sigma_{uts,2}$	$\sigma_{uts,3}$	$\bar{\sigma}_{uts}$	$e\%$	d	S	S_e	متغیر
۱۱۱۴/۹۷	۱۱۵۳/۷۵	۱۰۷۵/۸۸	۱۱۱۴/۸۷	-۱/۶۵	-۱۸/۶۸	۳۸/۹۴	۲۲/۴۸	تنش نهایی (MPa)
نام آزمایش								
$\sigma_{uts,1}$	$\sigma_{uts,2}$	$\sigma_{uts,3}$	$\bar{\sigma}_{uts}$	$e\%$	d	S	S_e	متغیر
۱۰۴۷/۷۶	۱۱۳۲/۹۱	۱۱۲۸/۲۸	۱۱۰۲/۹۸	-۲/۷۰	-۳۰/۵۷	۴۷/۸۸	۲۷/۶۴	تنش نهایی (MPa)
نام آزمایش								
$\sigma_{uts,1}$	$\sigma_{uts,2}$	$\sigma_{uts,3}$	$\bar{\sigma}_{uts}$	$e\%$	d	S	S_e	متغیر
۱۱۰۱/۰۳	۱۱۵۵/۱۶	۱۱۷۹/۵۴	۱۱۴۵/۲۴	۱/۰۳	۱۱/۶۹	۴۰/۱۸	۲۳/۲۰	تنش نهایی (MPa)
نام آزمایش								
$\sigma_{uts,1}$	$\sigma_{uts,2}$	$\sigma_{uts,3}$	$\bar{\sigma}_{uts}$	$e\%$	d	S	S_e	متغیر
۱۱۵۱/۵۴	۱۰۴۴/۹۱	۱۱۲۸/۵	۱۱۰۸/۳۲	-۲/۲۳	-۲۵/۲۳	۵۶/۱۱	۳۲/۳۹	تنش نهایی (MPa)

نیز سهم مشارکت تنش پسماند در تنش نهایی را $P_{res} = ۴/۷\%$ و سهم مشارکت تردی هیدروژنی را $P_H = ۸/۷۸\%$ تخمین می‌زنند. به طور مشابه با حالت قبل، درصد مشارکت خطا در تنش نهایی زیاد و در حدود $۸۶/۵۲\%$ بدست آمده است. این مقدار از سهم خطا، به دلیل تغییرات اندک تنش نهایی در شرایط آزمایش، رخ داده است.

۳-۵- انعطاف‌پذیری و کاهش سطح مقطع شکست
طبق تعریف، انعطاف‌پذیری نسبت تغییر طول نمونه به طول اولیه آن است. بر این اساس و با افزایش تردی، مقدار انعطاف‌پذیری نمونه می‌تواند کاهش یابد. این موضوع، در نتایج آزمایشگاهی نیز قابل مشاهده است. مقادیر انعطاف‌پذیری در حالت مبنا و در سه تکرار محاسبه و مقدار متوسط انعطاف‌پذیری $۱۶/۳۹\%$ به همراه $۰/۸۸$ انحراف استاندارد به دست آمد. جدول ۶ مقادیر انعطاف‌پذیری را در چهار حالت آزمایشگاهی مجزا نشان می‌دهد. بر این اساس مقدار متوسط انعطاف‌پذیری در حالت I5-C1، I5-C2، I9-C1 و I9-C2 با میزان

۲-۵- تنش نهایی
طبق تعریف، تنش نهایی بیشینه تنشی است که جسم در آزمون کشش تجربه می‌کند. مقادیر تنش نهایی برای حالت مبنا C-1 برای سه تکرار محاسبه شد. مقدار متوسط تنش نهایی برای حالت مبنا در حدود $۱۱۳۳/۵۸$ MPa با انحراف استانداردی در حدود $۳۶/۱۱$ به دست آمد. مشابه قسمت ۱-۵ نتایج مربوط به تنش نهایی در چهار آزمایش و در سه تکرار در جدول ۵ آورده شده است. انحراف استاندارد، درصد اختلاف مقدار متوسط با مقدار متوسط حالت مبنا و خطای استاندارد میانگین S_e به ترتیب در محدوده $۹۴/۱۱ < S_e < ۳۸/۵۶$ و $۰/۳/۷ < e < ۱/۲$ محسوب شده است؛ که پراکندگی اندک نتایج نسبت به مقدار میانگین و اختلاف کم نسبت به شرایط مبنا را نشان می‌دهد. در این حالت نیز مقایسه مقادیر S_e و d نشان دهنده قرارگیری تغییرات تنش نهایی در محدوده خطای اندازه‌گیری بوده و بنابراین تغییرات تنش نهایی بر حسب تردی هیدروژنی و تنش پسماند قابل گزارش نیست. نتایج تحلیل آماری

جدول ۶. مقادیر انعطاف‌پذیری در هر تکرار L_i ، مقدار متوسط انعطاف‌پذیری \bar{L} ، انحراف استاندارد S اختلاف مقدار متوسط با مقدار متوسط حالت مینا d و خطای استاندارد میانگین e در چهار آزمایش I_۹-C_۲، I_۹-C_۱، I_۵-C_۲ و I_۵-C_۱.

Table 6. The values of the flexibility in each repetition L_i , the mean value of the flexibility \bar{L} , the percentage difference between the mean value and the base state $e\%$, the standard deviation S , the difference between the mean value and the base state d and the mean standard error S_e in four experiments I₅-C₁, I₅-C₂, I₉-C₁ and I₉-C₂.

نام آزمایش								
L_1	L_2	L_3	\bar{L}	$e\%$	d	S	S_e	متغیر
۹	۱۱/۰۸	۸/۱	۹/۳۹	-۴۲/۶۹	-۶/۹۹	۱/۵۳	۰/۸۸	انعطاف‌پذیری
نام آزمایش								
L_1	L_2	L_3	\bar{L}	$e\%$	d	S	S_e	متغیر
۴/۹۳	۳/۲۳	۴/۲۸	۴/۱۵	-۷۴/۶۸	-۱۲/۲۳	۰/۸۶	۰/۵۰	انعطاف‌پذیری
نام آزمایش								
L_1	L_2	L_3	\bar{L}	$e\%$	d	S	S_e	متغیر
۶/۸۸	۸/۲	۸/۸۵	۷/۹۸	-۵۱/۳۱	-۸/۴۰	۱/۰۰	۰/۵۸	انعطاف‌پذیری
نام آزمایش								
L_1	L_2	L_3	\bar{L}	$e\%$	d	S	S_e	متغیر
۵/۴۶	۴/۹۲	۳/۸۴	۴/۷۴	-۷۱/۰۸	-۱۱/۶۴	۰/۸۲	۰/۴۸	انعطاف‌پذیری

در مقایسه با سهم تنش پسماند نسبت داد. به منظور بررسی کمی سهم مشارکت دو پارامتر مورد اشاره در انعطاف‌پذیری، نتایج تحلیل آماری گزارش می‌شود. بر این اساس، سهم مشارکت تنش پسماند در انعطاف‌پذیری معادل ۱/۱۵٪ و سهم مشارکت تردی هیدروژنی معادل ۰/۶۷٪ محاسبه شده است. لازم به ذکر است که مقایسه اختلاف مقدار متوسط انعطاف‌پذیری با مقدار متوسط آن در شرایط مینا d ، با میزان خطای استاندارد میانگین e ، حاکی از اندک بودن خطای اندازه‌گیری انعطاف‌پذیری در آزمایش‌های انجام گرفته می‌باشد. سهم مشارکت بالای تردی هیدروژنی و سهم مشارکت پایین تنش پسماند در تغییرات انعطاف‌پذیری در تطابق کامل با توضیحات ارائه شده در پاراگراف بالا است. به طوری که در تردی هیدروژنی پایین (I_۵-C_۱ و I_۹-C_۱)، سهم تنش پسماند در انعطاف‌پذیری قابل مشاهده است، اما با افزایش تردی هیدروژنی (I_۹-C_۲ و I_۵-C_۲) سهم تنش پسماند در انعطاف‌پذیری در مقایسه با سهم تردی هیدروژنی، قابل صرف نظر کردن است.

به موازات بررسی انعطاف‌پذیری نمونه، کاهش سطح مقطع شکست در شرایط مینا و چهار آزمایش I_۹-C_۱، I_۹-C_۲، I_۵-C_۱ و I_۹-C_۲ گزارش می‌شود. متوسط درصد کاهش سطح مقطع شکست

انحراف استاندارد ۱/۵۳ به دست آمده است. این میزان در مقایسه با حالت استاندارد، ۴۲/۶۹٪ کاهش نشان می‌دهد. این کاهش در مقدار انعطاف‌پذیری با توجه به افزایش تردی هیدروژنی توجیه‌پذیر است. همچنین مطابق با نتایج گزارش شده در جدول ۶، با افزایش مدت زمان شارژ از یک ساعت به دو ساعت و افزایش مضاعف تردی هیدروژنی، مقدار متوسط انعطاف‌پذیری معادل ۰/۱۵٪ به همراه ۰/۸۶٪ افزایش تردی هیدروژنی، به دست آمده است. این میزان نسبت به حالت مینا، I_۹-C_۲ ۷۴/۶۸٪ کاهش را نشان می‌دهد. به طور مشابه در I_۹-C_۱ با افزایش مقدار تردی هیدروژنی، میزان انعطاف‌پذیری کاهش یافته است.

نکته دیگر قابل استخراج از نتایج جدول ۶، تأثیر تنش پسماند بر انعطاف‌پذیری است. با مقایسه دو حالت I_۹-C_۱ و I_۹-C_۲ مشاهده می‌شود که میزان انعطاف‌پذیری از ۹/۳۹٪ به ۷/۹۸٪ کاهش یافته است. به عبارت دیگر، با افزایش سطح تنش پسماند از نیروی ۵ کیلو نیوتون به ۹ کیلو نیوتون، مقدار انعطاف‌پذیری به میزان ۱۵٪ کاهش یافته است؛ اما مقایسه مقادیر انعطاف‌پذیری در دو حالت I_۹-C_۲ و I_۹-C_۱، تغییر معناداری را در مقادیر آن نشان نمی‌دهد. این عدم تغییر را می‌توان به سهم بالای تردی هیدروژنی در انعطاف‌پذیری

جدول ۷. مقادیر سطح مقطع شکست در هر تکرار A_i ، درصد اختلاف مقدار متوسط سطح مقطع شکست \bar{A} ، درصد متوسط سطح مقطع شکست با حالت مبنا $e\%$ و انحراف استاندارد d اختلاف مقدار متوسط با مقدار متوسط حالت مبنا d و خطای استاندارد میانگین S_e در چهار آزمایش I₅-C₁، I₅-C₂، I₉-C₁ و I₉-C₂

Table 7. The values of the failure cross section in each repetition A_i , the mean value \bar{A} , the percentage difference between the mean value and the base state $e\%$, the standard deviation S , the difference between the mean value and the base state d and the mean standard error S_e in four experiments I₅-C₁, I₅-C₂, I₉-C₁ and I₉-C₂.

I ₅ -C ₁								نام آزمایش	
A_1	A_2	A_3	\bar{A}	$e\%$	d	S	S_e	متغیر	
۳۸/۵۲	۳۰/۸۲	۲۵/۹۵	۳۱/۷۶	-۱۱/۷۸	-۴/۲۴	۶/۳۴	۳/۳۶	درصد کاهش سطح مقطع	
I ₅ -C ₂								نام آزمایش	
A_1	A_2	A_3	\bar{A}	$e\%$	d	S	S_e	متغیر	
۲۷/۴۲	۱۶/۷۸	۲۱/۱۱	۲۱/۷۷	-۳۹/۵۳	-۱۴/۲۳	۵/۳۵	۳/۰۹	درصد کاهش سطح مقطع	
I ₉ -C ₁								نام آزمایش	
A_1	A_2	A_3	\bar{A}	$e\%$	d	S	S_e	متغیر	
۳۲/۶۳	۲۹/۵۴	۳۲/۱۳	۳۱/۴۳	-۱۲/۶۹	-۴/۵۷	۱/۶۶	۰/۹۶	درصد کاهش سطح مقطع	
I ₉ -C ₂								نام آزمایش	
A_1	A_2	A_3	\bar{A}	$e\%$	d	S	S_e	متغیر	
۲۵/۵۶	۲۳/۵۲	۱۶/۱۷	۲۱/۷۵	-۳۹/۵۸	-۱۴/۲۵	۴/۹۴	۲/۸۵	درصد کاهش سطح مقطع	

پسماند بر روی درصد کاهش سطح مقطع شکست را نشان می‌دهد به طوری که مقدار این پارامتر از حدود ۳۱/۷۶٪ به ۳۱/۴۳٪ تغییر کرده است. لازم به توضیح است که این میزان از تغییرات با توجه به خطاهای موجود در اندازه‌گیری چندان قابل اعتنا نیست. مشابهه همین نتیجه در مقایسه نتایج میان دو آزمایش I₅-C₂ و I₉-C₂ به دست آمده است. مقایسه مقادیر d و S_e در جدول ۷ نشان می‌دهد که تنها در آزمایش I₅-C₁ مقدار تغییرات سطح مقطع شکست با خطای اندازه‌گیری اختلاف کمی دارد و در سایر آزمایش‌ها خطای اندازه‌گیری در مقایسه با تغییرات سطح مقطع شکست بسیار کوچکتر است.

چهار نمونه شکسته شده در آزمایش‌های I₅-C₀-N₁، I₅-C₀-N₁، I₅-C₂-N₁ و I₉-C₂-N₁ به ترتیب در شکل‌های ۹-الف تا ۹-د نشان داده شده‌اند. مقایسه شکل‌های ۹-الف و ۹-ب به روشنی دو تفاوت مهم را در محل شکست نشان داده است. نکته اول،

در حالت مبنا در حدود ۳۶٪ با ۳/۱۱٪ انحراف استاندارد محاسبه شده است. لازم به ذکر است که مساحت محاسبه شده، مساحت تصویر مقطع شکست در راستای محور کشش بوده است. همچنین جدول ۷ مقادیر درصد کاهش سطح مقطع شکست را در چهار آزمایش I₅-C₁، I₅-C₂، I₉-C₁ و I₉-C₂ نشان می‌دهد.

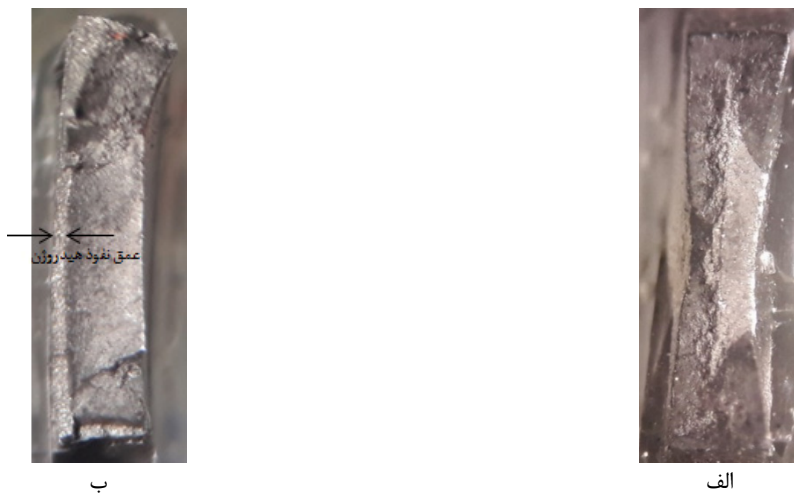
بر این اساس مشاهده می‌شود که این پارامتر در شرایط I₅-C₁، در حدود ۳۱/۷۶٪ و در شرایط I₅-C₂، در حدود ۲۱/۷۷٪ است. مقایسه هر کدام از این مقادیر با حالت مبنا، به ترتیب ۳۱/۷۸٪ و ۳۹/۵٪ افزایش را نشان می‌دهد. این افزایش که به دلیل افزایش تردی نمونه رخ داده، با کاهش انعطاف‌پذیری نمونه، هم‌زمان بوده است. شرایط مشابهی نیز برای دو آزمایش I₉-C₁ و I₉-C₂ وجود دارد، به طوری که با افزایش زمان شارژ نمونه و افزایش تردی آن، درصد کاهش سطح مقطع شکست، افزایش یافته است. مقایسه نتایج میان دو آزمایش I₅-C₁ و I₉-C₁، تأثیرگذاری اندک تنش



شکل ۹. نمایش چهار نمونه شکسته شده در آزمایش‌های الف) I5-C0-N1، ب) I5-C2-N1، ج) I9-C0-N1 و د) I9-C2-N1.
Fig. 9. Representation of four broken samples in experiments a) I5-C0-N1, b) I5-C2-N1, c) I9-C0-N1 and d) I9-C2-N1.

ناچیزی مشاهده می‌شود. شکل (۱۰-ب) سطح مقطع شکست در حالت I9-C2-N1 را با بزرگنمایی ۶۰X نشان می‌دهد. بر این اساس مشاهده می‌شود که بعد از شکست، مقطع دچار گلویی شدن بسیار ناچیز می‌شود. نکته مهم دیگر، تمایز سطح مقطع شکست میان سمت چپ و راست نمونه است؛ که به صورت باریکه‌ای عمودی در سمت چپ تصویر مشخص است. این تمایز به دلیل اختلاف در نحوه شکست نمونه در این مقطع است؛ به طوری که با نفوذ هیدروژن به نمونه، شکست در آن به صورت ترد رخ داده و این موضوع سبب ایجاد اختلاف میان سمت چپ و راست شکل شده است. به عبارت دیگر، بخشی از مقطع که از سمت چپ تصویر متمايز شده، ضخامتی را نشان می‌دهد که هیدروژن به آن نفوذ کرده است. عمق نفوذ هیدروژن در شکل

رخ دادن پدیده گلویی شدن در محل شکست برای شرایط بدون شارژ هیدروژنی است. این موضوع در شکل ۱۰-الف نیز نمایش داده شده است. در این شکل سطح مقطع شکست برای حالت I5-C0-N1 با بزرگنمایی ۶۰X نشان داده شده است. مطابق این شکل، شکست نرم پس از تغییر شکل و گلویی شدن اتفاق افتاده است و وجود اختلاف رنگ در آن به دلیل اختلاف در ارتفاع سطح مقطع شکست است. این در حالی است که در آزمایش I9-C2-N1 به دلیل شارژ دوساعتی و افزایش تردی نمونه، پدیده شکست با حداقل گلویی شدن، کرنش کم و کاهش اندک سطح مقطع شکست همراه بوده است. در شکست نرم تغییر شکل پلاستیک اتفاق می‌افتد در صورتی که در شکست ترد یا اصلاً تغییر شکل پلاستیک به وجود نمی‌آید و یا این که به مقدار



شکل ۱۰. نمایش سطح مقطع شکست با بزرگنمایی $\times 60$ در دو حالت: الف) I5-C0-N1، ب) I9-C2-N1.

Fig. 10. Failure cross section with x60 magnification in two conditions: a) I5-C0-N1, b) I9-C2-N1.

جدول ۸. مقادیر چرمگی در هر تکرار $U_{T,i}$ ، مقدار متوسط چرمگی \bar{U}_T ، درصد اختلاف مقدار متوسط با حالت مبنای $e\%$ ، انحراف استاندارد S ، اختلاف مقدار متوسط با مقدار متوسط حالت مبنای d و خطای استاندارد میانگین S_e در چهار آزمایش I9-C2، I9-C1، I5-C2 و I5-C1

Table 8. The values of the toughness in each repetition $U_{T,i}$, the mean value \bar{U}_T , the percentage difference between the mean value and the base state $e\%$, the standard deviation S , the difference between the mean value and the base state d and the mean standard error S_e in four experiments I5-C1, I5-C2, I9-C1 and I9-C2.

نام آزمایش								متغیر
$U_{T,1}$	$U_{T,2}$	$U_{T,3}$	\bar{U}_T	$e\%$	d	S	S_e	
۹۵/۸۵	۱۴۴/۳۲	۷۰/۳۴	۱۰۳/۵۰	-۳۰/۸۶	-۴۶/۲۰	۳۷/۵۸	۲۱/۷۰	چرمگی (J/cm^3)
نام آزمایش								متغیر
$U_{T,1}$	$U_{T,2}$	$U_{T,3}$	\bar{U}_T	$e\%$	d	S	S_e	
۴۶/۲۹	۳۲/۲۳	۴۳/۸۹	۴۰/۸۴	-۷۲/۷۲	-۱۰۸/۸۶	۷/۴۶	۴/۳۱	چرمگی (J/cm^3)
نام آزمایش								متغیر
$U_{T,1}$	$U_{T,2}$	$U_{T,3}$	\bar{U}_T	$e\%$	d	S	S_e	
۶۹/۴۴	۸۷/۶۸	۸۳/۶۶	۸۰/۲۶	-۴۶/۳۸	-۶۹/۴۴	۹/۵۸	۵/۵۳	چرمگی (J/cm^3)
نام آزمایش								متغیر
$U_{T,1}$	$U_{T,2}$	$U_{T,3}$	\bar{U}_T	$e\%$	d	S	S_e	
۵۶/۶۷	۴۱/۶۷	۳۳/۸۷	۴۴/۰۷	-۷۰/۵۶	-۱۰۵/۶۳	۱۱/۵۹	۶/۶۹	چرمگی (J/cm^3)

در مقطع شکست قابل مشاهده نیست. مقایسه شکل‌های ۹-ج و ۹-د نیز نتایج مشابهی را نشان می‌دهد.

۴-۵- چرمگی

چهارمین خاصیت مکانیکی مورد مطالعه در این تحقیق، مقدار چرمگی U_T نمونه است. مقدار چرمگی توسط انتگرال زیر منحنی

۱-ب با علامت پیکان نشان داده شده است. با توجه به این شکل مشاهده می‌شود که هیدرولیک در حدود ۱۰ درصد ضخامت قطعه نفوذ کرده است. نکته دوم در رابطه با شکل ۹-ب، ایجاد ترک‌های متعدد و

قابل مشاهده در آزمایش I5-C2-N1 است (این مورد بارسم دایره در شکل نشان داده شده است). حضور این ترک‌ها ناشی از تردی زیاد نمونه بوده است، چراکه در آزمایش I5-C0-N1 ایجاد و رشد ترک

حاصل از بار ۵ یا ۹ کیلو نیوتنی تأثیری روی چقرمگی نخواهد داشت و نقش غالب را شارژ هیدروژنی بازی می‌کند.

۶- نتیجه‌گیری

در این مقاله خواص مکانیکی تست کشش برای نمونه استاندارد جی-تی-دی ۴۵۰ با در نظر گرفتن دو پارامتر تردی هیدروژنی و تنش پسماند به صورت آزمایشگاهی مورد بررسی قرار گرفت. بدین منظور، نمونه‌ها در دو دسته شارژ هیدروژنی یک ساعته و دو ساعته قرار گرفتند. همچنین در هر سطح از شارژ هیدروژنی، دو سطح از تنش پسماند ایجاد گردید. برای ایجاد تنش پسماند از روش دندانه‌گذاری و اعمال نیروی ثابت ۵ و ۹ کیلو نیوتنی، استفاده شد. نتایج به دست آمده در خصوص خواص مکانیکی شامل تنش تسلیم، تنش نهایی، انعطاف‌پذیری، کاهش سطح مقطع شکست و چقرمگی است. خلاصه نتایج به دست آمده به قرار زیر است:

۱- با مقایسه مقادیر متوسط تنش تسلیم در چهار سطح معناداری مشاهده نمی‌شود؛ چراکه میزان تغییرات ثبت شده از مقادیر خطای استاندارد میانگین کمتر بوده است. بررسی سهم مشارکت دو پارامتر تنش پسماند و تردی هیدروژنی بر تنش تسلیم نشان می‌دهد که سهم مشارکت تنش پسماند $P_{res} = ۹/۳۷\%$ است که در مقایسه با سهم تردی هیدروژنی $P_H = ۱/۴\%$ مقدار قابل توجهی دارد. به عبارت دیگر می‌توان از نقش تردی هیدروژنی در مقایسه با سهم تنش پسماند در تغییرات تنش تسلیم صرف نظر کرد.

۲- تحلیل نتایج مربوط به تنش نهایی نشان می‌دهد که انحراف استاندارد و درصد اختلاف از مقدار متوسط مینا به ترتیب در محدوده $S < ۵۶/۱۱$ و $S > ۳۸/۹۴$ و $S < ۲/۷$ است. به عبارت دیگر می‌توان نتیجه گرفت که در شرایط آزمایش تنش پسماند و تردی هیدروژنی تأثیر اندکی بر تنش نهایی گذاشته‌اند. نتایج تحلیل آماری نیز سهم مشارکت تنش پسماند در تنش نهایی را $P_{res} = ۴/۷\%$ و سهم مشارکت تردی هیدروژنی را $P_H = ۸/۷۸\%$ تخمین می‌زنند.

۳- مقدار متوسط انعطاف‌پذیری در حالت I₅-C₁، معادل $۹/۳۹\%$ به دست آمده است که $۴۲/۶۹\%$ کمتر از حالت مینا است. همچنین نتایج نشان می‌دهد که با افزایش مدت زمان شارژ از یک ساعت به دو ساعت، مقدار متوسط انعطاف‌پذیری به $۴/۱۵\%$ کاهش

تیش-کرنش به دست می‌آید. مقدار متوسط چقرمگی نمونه در شرایط بدون حضور تنش پسماند و بدون اعمال شارژ هیدروژنی در حدود $۱۴۹/۶۹\text{ J/cm}^۳$ به دست آمده است. توجه به این نکته ضروری است که مقدار متوسط به دست آمده دارای $۱۲/۱۰\%$ واحد انحراف نسبت به حالت استاندارد است. جدول ۸ مقادیر چقرمگی را در چهار آزمایش I₅-C₁، I₅-C₂، I₉-C₁ و I₉-C₂ به همراه مقادیر متوسط و انحراف استاندارد نشان می‌دهد. بر این اساس مشاهده می‌شود که در شرایط I₅-C₁ مقدار متوسط چقرمگی به $۱۰۳/۵\text{ J/cm}^۳$ رسیده است. این مقدار نسبت به شرایط مینا در حدود $۳۰/۸۶\%$ کاهش را تجربه کرده است. این کاهش با افزایش تردی هیدروژنی در آزمایش I₅-C₂ مقدار بیشتری را به خود اختصاص داده است؛ به طوری که مقدار چقرمگی در شرایط I₅-C₂ به $۴۰/۸۴\text{ J/cm}^۳$ رسیده است که نسبت به شرایط مینا در حدود $۷۲/۷۲\%$ کاهش داشته است. مقایسه نتایج میان دو آزمایش I₅-C₁ و I₅-C₂ به‌وضوح تأثیر تردی هیدروژنی بر کاهش چقرمگی نمونه را نشان می‌دهد.

در ادامه این قسمت به بررسی اثرات تنش پسماند بر چقرمگی نمونه پرداخته می‌شود. با مقایسه مقادیر چقرمگی متوسط در دو حالت I₅-C₁ و I₉-C₁ مشاهده می‌شود که مقدار چقرمگی از $۱۰۳/۵\text{ J/cm}^۳$ به $۸۰/۲۶\text{ J/cm}^۳$ کاهش یافته است. به عبارت دیگر با افزایش نیروی ایجاد تنش پسماند از ۵ کیلو نیوتن به ۹ کیلو نیوتن، مقدار چقرمگی $۲۲/۴۵\%$ درصد کاهش یافته است. با انجام مقایسه مشابه میان چقرمگی نمونه میان دو آزمایش I₉-C₂ و I₅-C₂ می‌شود که مقدار چقرمگی از $۴۰/۸۴\text{ J/cm}^۳$ به $۴۴/۰۷\text{ J/cm}^۳$ افزایش یافته است. با توجه به پراکندگی داده‌های آزمایشگاهی وجود خطای اندازه‌گیری، افزایش $۷/۹\%$ درصدی مقدار چقرمگی در این شرایط قابل اعتماد نیست و به نوعی ناشی از خطای آزمایش (به مقادیر d و S) در این دو آزمایش دقت شود. به عبارت دیگر می‌توان چنین نتیجه گرفت که در شارژ هیدروژنی یک ساعته، افزایش تنش پسماند سبب کاهش چقرمگی ولی در شارژ هیدروژنی دو ساعته، افزایش تنش پسماند تأثیری بر چقرمگی نخواهد داشت. علت این مسئله نفوذ هیدروژن در جاهای خالی و در مناطق جلو نابجایی‌ها می‌باشد. از طرف دیگر، عامل تغییر شکل در فلزات حرکت نابجایی‌ها می‌باشد. بنابراین در حالتی که دو ساعت شارژ هیدروژنی صورت می‌گیرد، عملاً جلو حرکت نابجایی‌ها گرفته می‌شود و تنش پسماند

علائم یونانی	Z	تعداد الکترون شرکت کننده در واکنش
	ε	کرنش
	σ	تنش، MPa
	τ	زمان، s
زیرنویس		
	<i>cath</i>	کاتد
	<i>dis</i>	دشارژ
	<i>exp</i>	عرض شارژ
	<i>f</i>	حالت نهایی
	<i>H</i>	هیدروژن
	<i>ref</i>	حالت مرجع
	<i>res</i>	تنش پسماند
	<i>0</i>	حالت مینا
بالانویس		
	<i>abs</i>	جذب هیدروژن
	<i>ev</i>	تولید هیدروژن

مراجع

- [1] S. Woods, J.A. Lee, Hydrogen Embrittlement, (2016).
- [2] W. Jang, S. Kim, K. Shin, Hydrogen-assisted deformation and fracture behaviors of Al 8090, Metallurgical and Materials Transactions A, 33(6) (2002) 1755-1763.
- [3] G. Lu, E. Kaxiras, Hydrogen embrittlement of aluminum: the crucial role of vacancies, Physical review letters, 94(15) (2005) 155501.
- [4] C.-S. Oh, Y.-J. Kim, K.-B. Yoon, Coupled analysis of hydrogen transport using ABAQUS, Journal of Solid Mechanics and Materials Engineering, 4(7) (2010) 908-917.
- [5] D. Lee, Y. Huang, J. Achenbach, A comprehensive analysis of the growth rate of stress corrosion cracks, Proceedings of the Royal Society A: Mathematical, Physical and Engineering Sciences, 471(2178) (2015) 20140703.
- [6] E. Cendales, F. Orjuela, O. Chamarraví, Computational modeling of the mechanism of hydrogen embrittlement (HE) and stress corrosion cracking (SCC) in metals, in: Journal of Physics: Conference Series, IOP Publishing,

می‌یابد. همچنین سهم مشارکت تنش پسماند در انعطاف‌پذیری معادل ۱/۱۵٪ و سهم مشارکت تردی هیدروژنی معادل ۰/۶۷٪ محاسبه شده است.

۴- نتایج آزمایشگاهی نشان می‌دهند که درصد کاهش سطح مقطع شکست در شرایط I₅-C₁، در حدود ۳۱/۷۶٪ و در شرایط I₅-C₂، در حدود ۲۱/۷۷٪ است. این افزایش سطح مقطع شکست، با کاهش انعطاف‌پذیری نمونه، همزمان بوده است. شرایط مشابهی نیز برای دو آزمایش I₉-C₁ و I₉-C₂ وجود دارد.

۵- نتایج نشان می‌دهد که افزایش تردی سبب کاهش چرمگی نمونه می‌شود؛ به طوری که در شرایط I₅-C₂ و I₅-C₁ مقدار متوسط چرمگی به ترتیب ۴۰/۸۴ J/cm^۳ و ۱۰/۳/۵ J/cm^۳ محاسبه شده است. همچنین مشاهده می‌شود که در تردی هیدروژنی پایین، افزایش تنش پسماند سبب کاهش چرمگی و در تردی بالا، تنش پسماند تأثیر قابل توجهی بر چرمگی نخواهد داشت. مقدار سهم مشارکت تردی هیدروژنی در چرمگی حدود ۰/۶۷ درصد و سهم مشارکت تنش پسماند در حدود ۱/۱۵ درصد تخمین زده شده است.

فهرست علائم

علائم انگلیسی

A	کاهش سطح مقطع
C	غله
CF	فاکتور تصحیح
e	درصد اختلاف هر پارامتر با مقدار متناظر حالت مینا
F	ثبت فارادی، C/mol
I	جریان پلاریزاسیون، mA
l	طول نمونه، m
L	انعطاف‌پذیری
N	تعداد کل آزمایش
P	سهم مشارکت
Q	میزان هیدروژن تولید یا جذب شده روی سطح نمونه، mA.S
S	واریانس کل، اختلاف استاندارد
U _T	J/cm ^۳ ، چرمگی،
v	حجم مؤثر نمونه، cm ^۳

- [15] X. Chang, Y. Yan-sheng, Y. Lin-na, L. Tao, C. Sha, T. Shaolei, W. Jiang, J. Gong, J. Tang, H. Chen, 3-D finite element analysis of the effect of welding residual stress on hydrogen diffusion in hydrogen contained environment, *金属学报英文版*, 20(5) (2009) 347-354.
- [16] H.-M. Tung, T.-C. Chen, C.-C. Tseng, Effects of hydrogen contents on the mechanical properties of Zircaloy-4 sheets, *Materials Science and Engineering: A*, 659 (2016) 172-178.
- [17] Z. Sheng, C. Altenbach, U. Prahl, D. Zander, W. Bleck, Effect of cutting method on hydrogen embrittlement of high-Mn TWIP steel, *Materials Science and Engineering: A*, 744 (2019) 10-20.
- [18] E. ASTM, Standard test methods for tension testing of metallic materials, Annual book of ASTM standards. ASTM, (2001).
- [19] A. Salarvand, Investigation of the effects of multi-layer hard coatings on the fatigue corrosion behavior of Custom 450 steel, PhD Thesis, Zanjan University, Zanjan, 2016 (In persian).
- [20] B. Berkowitz, J. Burton, C. Helms, R. Polizzotti, Hydrogen dissociation poisons and hydrogen embrittlement, *Scripta Metallurgica*, 10(10) (1976) 871-873.
- [21] M. Mohtadi-Bonab, J. Szpunar, L. Collins, R. Stankievech, Evaluation of hydrogen induced cracking behavior of API X70 pipeline steel at different heat treatments, *International journal of hydrogen energy*, 39(11) (2014) 6076-6088.
- [22] M. Yan, Y. Weng, Study on hydrogen absorption of pipeline steel under cathodic charging, *Corrosion science*, 48(2) (2006) 432-444.
- [23] R.K. Roy, Design of experiments using the Taguchi approach: 16 steps to product and process improvement, John Wiley & Sons, 2001.
- 2016, pp. 012067.
- [7] H. Lee, S. Kang, J. Choi, M. Kim, An extended finite element method-based representative model for primary water stress corrosion cracking of a control rod driving mechanism penetration nozzle, *Fatigue & Fracture of Engineering Materials & Structures*, 41(1) (2018) 138-145.
- [8] M. El May, N. Saintier, T. Palin-Luc, O. Devos, O. Brucelle, Modelling of corrosion fatigue crack initiation on martensitic stainless steel in high cycle fatigue regime, *Corrosion Science*, 133 (2018) 397-405.
- [9] J. Capelle, I. Dmytrakh, Z. Azari, G. Pluvinage, Evaluation of electrochemical hydrogen absorption in welded pipe with steel API X52, *international journal of hydrogen energy*, 38(33) (2013) 14356-14363.
- [10] J. Capelle, I. Dmytrakh, G. Pluvinage, Comparative assessment of electrochemical hydrogen absorption by pipeline steels with different strength, *Corrosion Science*, 52(5) (2010) 1554-1559.
- [11] L. Yin, Y. Liu, N. Dai, S. Qian, Y. Wan, J. Wu, J. Li, Y. Jiang, Effect of hydrogen charging conditions on hydrogen blisters and pitting susceptibility of 445J1M ferritic stainless steel, *Journal of The Electrochemical Society*, 165(16) (2018) C1007-C1016.
- [12] J. Carreno, I. Uribe, J. Carrillo, Modelling of roughness effect on hydrogen permeation in a low carbon steel, *Revista de metalurgia*, (2003) 213-218.
- [13] F. Bolzoni, P. Fassina, G. Fumagalli, L. Lazzari, G. Re, Hydrogen charging of carbon and low alloy steel by electrochemical methods, in: *EUROCORR 2010, From the Earth's Depths to Space Heights*, 2010, pp. 1-16.
- [14] O. Takakuwa, Y. Mano, H. Soyama, The Interaction between Hydrogen and Surface Stress in Stainless Steel, *International Journal of Materials and Metallurgical Engineering*, 8(12) (2014) 1391-1395.

چگونه به این مقاله ارجاع دهیم

S. Nosrati, E. Poursaeidi, A. Dadashi, Experimental Study of Effects of Hydrogen Embrittlement and Residual Stress on Mechanical Properties of GTD450, Amirkabir J. Mech Eng., 53(12) (2022) 5659-5678.

DOI: [10.22060/mej.2021.19459.7032](https://doi.org/10.22060/mej.2021.19459.7032)



